

BR9331396

19

MEDIDAS DE FLUXO DE NEUTRONS TÉRMICOS, EPITÉRMICOS E RÁPIDOS NO REATOR IEA-R1, PELA TÉCNICA DE ATIVACAO DE FOLHAS

Professores Responsáveis:

Mauro S. Dias e Marina F. Koskinas
Laboratório de Metrologia Nuclear - NPI
IPEN-CNEN/SP

Participantes:

Herminio Hinostroza - IPEN/Peru
José Roberto Berretta - IPEN-CNEN/SP
Luciano Fratin - IFUSP
Odair Lelis Gonçalez - IEAv/CTA
Suzana Botelho - IFUSP

RESUMO

Os fluxos^(*) de nêutrons térmicos, epitêrmicos e rápidos foram determinados experimentalmente pelo método de ativação de folhas na posição G1, próxima ao núcleo do reator IEA-R1. As reações utilizadas foram: $^{197}\text{Au}(n,\text{gama})^{198}\text{Au}$, para a medida dos fluxos térmico e epitêrmico e $^{27}\text{Al}(n,\text{alfa})^{24}\text{Na}$, para a medida do fluxo rápido. As atividades foram determinadas pelo método de coincidências $4\pi(\text{PC})\beta-\gamma$.

ABSTRACT

The thermal, epithermal and fast neutron fluxes have been determined experimentally by the activation foil method at position G1, located near the IEA-R1 reactor core. The reactions used were $^{197}\text{Au}(n,\text{gama})^{198}\text{Au}$, for thermal and epithermal neutrons and $^{27}\text{Al}(n,\text{alpha})^{24}\text{Na}$, for fast neutrons. The activities were measured by the $4\pi(\text{PC})\beta-\gamma$ coincidence method.

^(*) Note: Por simplicidade, adotou-se neste trabalho a nomenclatura fluxo, em lugar das designações mais rigorosas densidade de fluxo ou taxa de fluâncie.

1. INTRODUÇÃO

O conhecimento do fluxo de nêutrons é de importância fundamental em qualquer experimento que venha a ser efetuado em um reator de pesquisa, especialmente na produção de radioisótopos, no estudo de danos de radiação ou em cálculos de blindagens.

Para o caso do reator IEA-R1 do IPEN, os nêutrons apresentam um espectro amplo de energias, desde milésimos de eV até vários milhões de eV. Os nêutrons com energias abaixo de 0,6 eV são chamados térmicos, aqueles entre 0,6 eV e 0,5 MeV, epitérmicos, e os nêutrons com energias acima de 0,5 MeV, rápidos.

Um dos métodos mais importantes na determinação do fluxo de nêutrons é o método de ativação de folhas. Neste método, uma reação nuclear induzida pelos nêutrons produz um núcleo final que é radioativo. A atividade obtida está diretamente relacionada com o fluxo de nêutrons no qual a amostra foi irradiada.

No presente trabalho, os fluxos de nêutrons térmico e epitérmico foram determinados pelo método da diferença de cádmio [7], por meio da reação $^{197}\text{Au}(\text{n},\text{gama})^{198}\text{Au}$. O fluxo de nêutrons rápidos foi determinado pela reação de limiar $^{27}\text{Al}(\text{n},\text{alfa})^{24}\text{Na}$.

As atividades dos radionuclídeos ^{198}Au e ^{24}Na foram determinadas pelo método de coincidências $\text{4}\pi(\text{PC})\beta^-\beta^-$ [9], que é um dos mais exatos, podendo atingir erros inferiores a 0,1%.

2. PROCEDIMENTO EXPERIMENTAL

2.1 Irradiação das amostras

Para a medida dos fluxos térmico e epitérmico foram utilizadas folhas de liga ouro-alumínio, contendo 0,13% de ouro. As folhas possuíam massa da ordem de 1 mg e área em torno de 3 mm². A espessura efetiva de ouro resultante é de aproximadamente 40 $\mu\text{g}/\text{cm}^2$. A fim de separar a contribuição na ativação ocasionada pelos nêutrons epitérmicos, as folhas foram irradiadas formando um par, ficando uma delas no interior de uma cápsula de cádmio com 1 mm de espessura da parede. A depreciação no

fluxo térmico devida à presença do cádmio foi evitada, mantendo-se as folhas de ouro a uma distância de 4 cm entre si.

Para a medida do fluxo de nêutrons rápidos, utilizou-se uma folha de alumínio com 8 mm de diâmetro e massa da ordem de 40 mg. Para evitar a contribuição ocasionada pela ativação por nêutrons térmicos das impurezas presentes ($\leq 0,004\%$ de Mn, Fe e Cu), esta amostra também foi encapsulada em cádmio.

As amostras foram irradiadas durante 20 min na posição GI, localizada próxima ao núcleo do reator IEA-R1, conforme indica a figura 1.

2.2 Determinação das atividades

As atividades dos radionuclídeos ^{176}Au e ^{24}Na foram determinadas de modo absoluto no sistema de coincidências $4\pi(\text{PC})\beta-\gamma$, instalado no Laboratório de Metrologia Nuclear do IPEN-CNEN/SP. Este sistema utiliza um detector proporcional a gás fluente em geometria 4π , acoplado a dois cintiladores de NaI(Tl) de 3" x 3" [9]. O diagrama da parte eletrônica é apresentado na figura 2.

Este tipo de sistema de medidas permite a determinação da atividade da amostra, sem necessidade do conhecimento das eficiências dos detectores. O valor da atividade específica é dado pela seguinte relação:

$$A_o = \frac{N_p N_\gamma}{N_c} \cdot \frac{1}{m(1 + K_g)} \quad (1)$$

onde:

A_o é a atividade específica da amostra (Bq/g).

N_p , N_γ e N_c são as taxas de contagens observadas nas vias beta, gama e coincidência, corrigidas para contagem de fundo, tempo morto, tempo de resolução [3] e decaimento da amostra;

K_g é a correção para o esquema de desintegração e

m é a massa da amostra (g).

A meia-vida adotada para o ^{198}Au foi de $(2,695 \pm 0,002)$ d [2] e para o ^{24}Na foi de $(14,960 \pm 0,006)$ h [2].

3. CALCULO DOS FLUXOS DE NEUTRONS

3.1 Térmico

Para a determinação do fluxo de nêutrons térmicos, foi suposta uma distribuição de energias do tipo Maxwelliana a uma temperatura de nêutron de 32 °C.

Para o tipo de folha de ativação utilizada no presente experimento, as equações para o fluxo de nêutrons térmicos descritas na referência [8] simplificam-se na seguinte equação:

$$\phi_T = \frac{(A_0 - A_e)}{F N_r \sigma_{\text{tot}} \sqrt{\pi T_0} (1 - e^{-\lambda z_i})} \quad (2)$$

onde:

A_0 e A_e correspondem às atividades das folhas sem e com revestimento de cádmio (em Bq/g), no instante do final da irradiação.

$F = G.H$ é o fator que inclue as correções para auto-blindagem (G) [6] e depressão de fluxo (H) [4].

σ_{tot} é a seção de choque de absorção para a velocidade de nêutron de 2200 m/s, $(98,8 \pm 0,3) \text{ b}$ [11].

T é a temperatura efetiva do nêutron no meio moderador.

N_r é o número de átomos/grama da folha de ativação.

3.2 Epitérmico

Na região epitérmica, a distribuição de energia dos nêutrons adotada foi $1/E$. O fluxo de nêutrons epitérmico é dado pela expressão [8]:

$$\phi_{\text{epi}} = \frac{A_e \ln(E_2/E_1)}{N_r \sigma_{\text{tot}} I (1 - e^{-\lambda z_i})} \quad (3)$$

onde:

- A_e é a atividade da folha de ouro recoberta com cádmio (em Bq/g), no instante do final da irradiação.
- E_1 e E_2 são respectivamente, a energia no corte de cádmio (0,6 eV) e na região rápida (1 MeV).
- θ_{epi} é o fator de auto-blindagem para a região epitérmica [1].
- I é a integral de ressonância, igual a (1558 ± 60) b, para a reação $^{197}\text{Au}(n,\text{gama})^{198}\text{Au}$ [5].

3.3 Rápido

Na região de nêutrons rápidos foi suposta uma distribuição de Watt, correspondendo ao espectro de energia dos nêutrons prontos emitidos no processo de fissão. A expressão para o fluxo de nêutrons rápidos é dada por:

$$\theta_n = \frac{A_e}{N_T \langle \sigma^* \rangle (1 - e^{-\lambda_T i})} \quad (4)$$

onde:

- A_e é a atividade da folha de alumínio recoberta com cádmio (em Bq/g), no instante do final da irradiação.
- $\langle \sigma^* \rangle$ é a seção de choque média no espectro de Watt igual a (0.681 ± 0.012) b [10] para a reação $^{27}\text{Al}(n,\text{alfa})^{24}\text{Na}$.

4. RESULTADOS E CONCLUSÕES .

A tabela 1 mostra os resultados obtidos para as atividades específicas do ^{198}Au e ^{24}Na no instante do final da irradiação, juntamente com os fluxos de nêutrons térmico, epitérmico e rápido.

Tabela 1 Resultados obtidos para as atividades específicas e para os fluxos de nêutrons térmicos, epitérmicos e rápidos.

Faixa de Energia do Neutron	Radionuclídeo	Atividade Específica (MBq/g)	Fluxo $\times 10^{12}$ (n.cm $^{-2}$ s $^{-1}$)
Térmico	^{198}Au	(17,76 ± 0,42)	(10,73 ± 0,37)
Epitérmico	$^{198}\text{Au} (\text{Cd})$	(4,659 ± 0,086)	(3,09 ± 0,14)
Rápido	^{24}Na	(0,1628 ± 0,0013)	(2,07 ± 0,05)

A incerteza nas atividades específicas do ^{198}Au é causada predominantemente pelo erro na determinação das massas das folhas (15 ug), enquanto que para o ^{24}Na , esta incerteza é dada predominantemente pelo erro estatístico nas contagens.

A incerteza nos fluxos de nêutrons térmico e epitérmico é dada predominantemente pelo erro nas atividades específicas (1,8 a 2,3%) e pelo erro no tempo de irradiação (1,5%). Para o caso dos nêutrons rápidos, a incerteza no fluxo é dada predominantemente pelo erro no tempo de irradiação.

Os erros totais obtidos nestas medidas são satisfatórios para a maioria dos usuários do reator, interessados nos valores de fluxo térmico, epitérmico e rápido. Entretanto, novas medidas podem ter seus erros reduzidos, aumentando-se as massas das folhas de ativação, para o caso da liga ouro-alumínio, e aumentando-se o tempo de irradiação, tanto no caso da liga como para a amostra de alumínio puro.

REFERENCIAS

- 1 BAUMANN,N.P. Resonance integrals and self-shielding factors for detector foils. Aiken, South Carolina, Du Pont de Nemours, 1963. (DP-817).
- 2 COMMISSARIAT A L'ENERGIE ATOMIQUE. Radionucléides. Gif-sur-Yvette, France, 1980.
- 3 COX,D.R. & ISHAM,V. A bivariate point process connected with electronic counters. Proc. Roy. Soc. A, 356:149-160, 1977.
- 4 DALTON,G.R. & OSBORN,R.K. Flux perturbations by thermal neutron detectors. Nucl. Sci. Eng., 9:198-210, 1961.
- 5 FASTRUP,B. & OLSEN,J. Measurement of the thermal and epithermal-neutron flux in the reactor DR-1. Proceedings of the symposium on the neutron detection, dosimetry and standardization, held in Harwell, 10-14 December 1962. Vol. I.B., Thermal and Epithermal Neutrons. Vienna, 1963:227.
- 6 FLEMING,R.F. Neutron Self-shielding Factors for Simple Geometries. Int. J. Appl. Radiat. Isot., 33:1263-1268, 1982.
- 7 INTERNATIONAL ATOMIC ENERGY AGENCY. Neutron fluence measurements. Vienna, 1970. (Technical report series, 107).
- 8 KOSKINAS,M.F. Medida do fluxo térmico, epitérmico e rápido no Reator IEA-R1 pelo método da ativação de folhas. São Paulo, 1978. (Dissertação de mestrado, Instituto de Energia Atômica).
- 9 MOURA,L.P. Método de coincidência generalizado para a medida absoluta da atividade de radionuclídeos - aplicação na determinação do coeficiente de conversão interna da transição de 279 keV do ^{233}U . São Paulo, 1969. (Tese de doutoramento, Univ. de Campinas).

- 10 ZIJP,W.L. Comparison of integral cross section values of several cross section libraries in the SAND II Format.
Netherlands Energy Research Foundation, 1976. (ECN-2).
- 11 ZIJP,W.L. & BAARD,J.H. Nuclear data guide for reactor neutron metrology. Brussels, Commission of the European Communities, 1981. (EUR-7164).

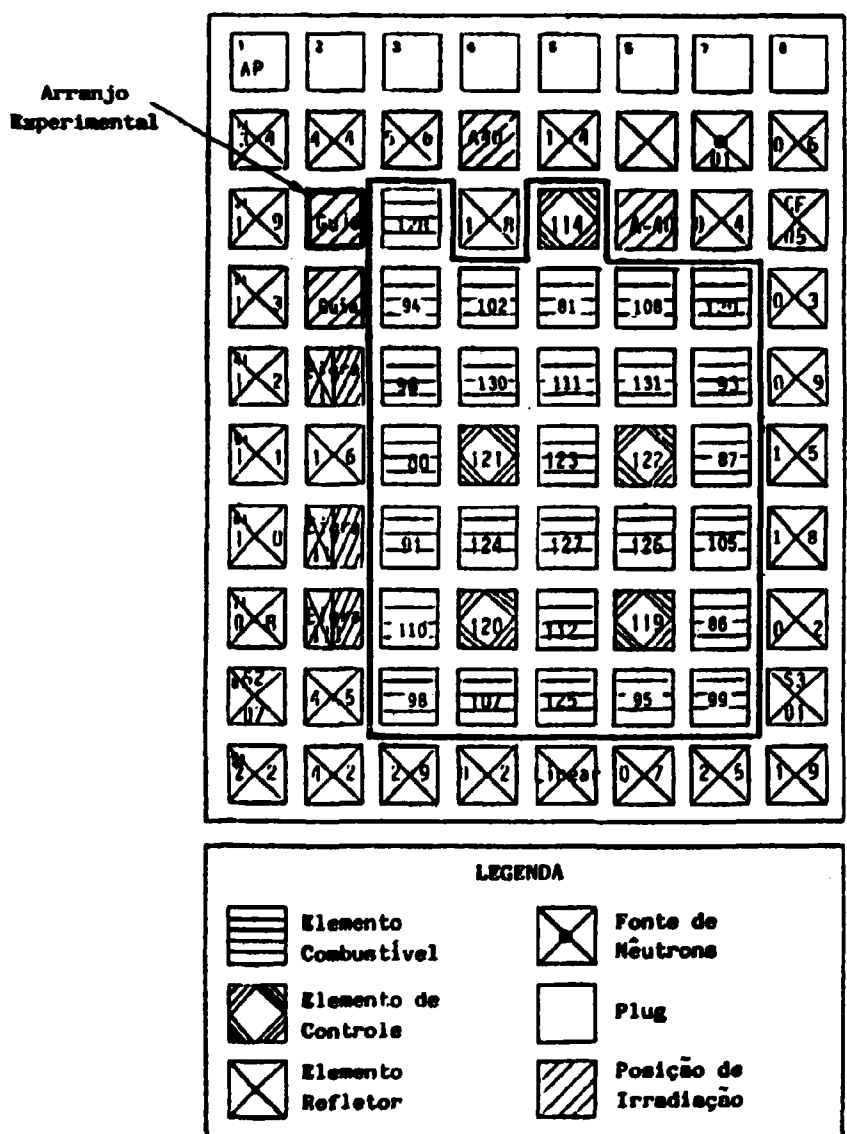


Figura 1 - Esquema da configuração do núcleo do reator IEAR-1 no dia da irradiação. Na parte superior da figura está indicada a localização do arranjo experimental.

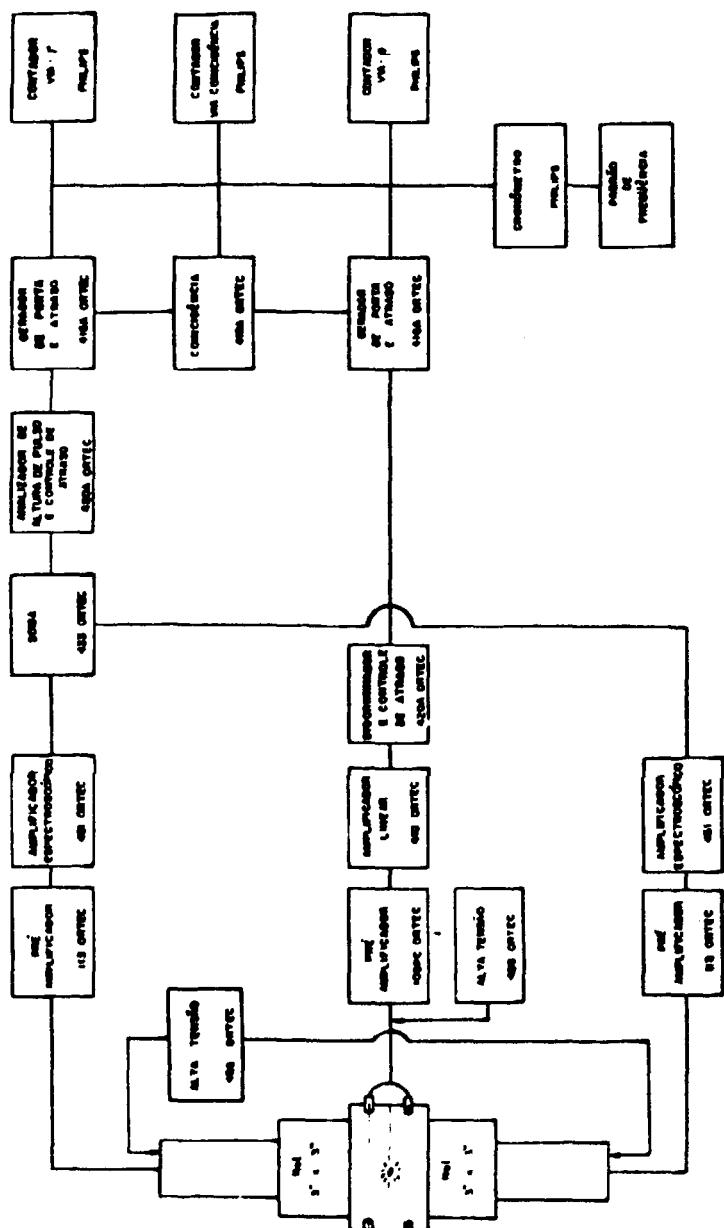


DIAGRAMA DE BLOCO DO SISTEMA DE CONCIÊNCIA 4T0 - f
INSTITUTO DE PESQUISAS ENERGÉTICAS E NUCLEARES
LABORATÓRIO DE METROLOGIA NUCLEARES

Figure 2